ДИЗИЦИИ ПИР ФРЗИРОЗПРОСОР ИЛИФРИЛЯ В ВОДРИМОР ИЗВЕСТИЯ АКАДЕМИИ НАУК АРМЯНСКОЙ ССР

Տեխնիկական գիտութ, սերիա

No 1, 1957

Серия технических наук

ЭЛЕКТРОТЕХНИКА

Р. А. ГРДЗЕЛЯН, И. Г. ДЖАНДЖУГАЗОВ, М. М. КАРАПЕТЯН, А. С. ТОРОСЯН

ИЗМЕРИТЕЛЬНАЯ СХЕМА ДЛЯ ИССЛЕДОВАНИЯ ПОТЕРЬ ЭНЕРГИИ НА КОРОНУ ПЕРЕМЕННОГО ТОКА*

В связи с развитием высоковольтных электрических сетей, исследование короны переменного тока на опытных линиях в высокогорных районах при пониженных атмосферных давлениях имеет теоретический в практический витерес. Состояние развития науки в области короны не позволяет достаточно точно определять потери электровнергии на корону вообще, в особенно в условиях горных районов. Предложенные различными авторами методы расчета потерь на корону [1, 2, 3] обычно являются результатом обобщения экспериментального натериала, не имеющего достаточного теоретического обоснования и потому не могут быть распространены на весь днапазон применяемых марок проводов и на различные метеорологические условия. Сравнение подсчетов по различным формулам показывает, что по ряду факторов они не приводят к однозначным результатам.

За последние годы учет потерь энергии на корону производится на основании экспериментального исследования на опытных пролетах, в условиях близких к эксплуатации.

Одним из основных факторов, влияющих на величину потерь на корону в высокогорных условиях, является пониженная плотность воздуха. Влияние относительной плотности воздуха (д) на величину потерь электроэнергии на корону показано на рис. 1, где приводятся полученные нами зависимости потерь мощности на корону от электростатического градиента на поверхности провода АС-150°* при различных относительных плотностих воздуха. Как показывают полученные данные, при хорошей погоде изменение относительной плотности воздуха на несколько процентов приводит к изменению потерь мощности на корону при данном градиенте в сотии процентов.

Лаборатория электротехники АН Армянской ССР занимается исследованием потерь на корону на опытных пролетах в высокогорных условиях—порядка 1100—2000 метров над уровнем моря. В 1955 году были начаты проектно-исследовательские работы и сооружение двух опытных установок напряжением 250 кв в следующих пунктах [3]:

1) В районе Норка гор. Еревана на высоте 1100 метров над уров-

^{*} В разработке схемы участвовала Вильчур Л. М.

^{**} Под электростатическим градпентом понимается величина электростатического градиента, которая была бы на поверхности провода при отсутствии короны

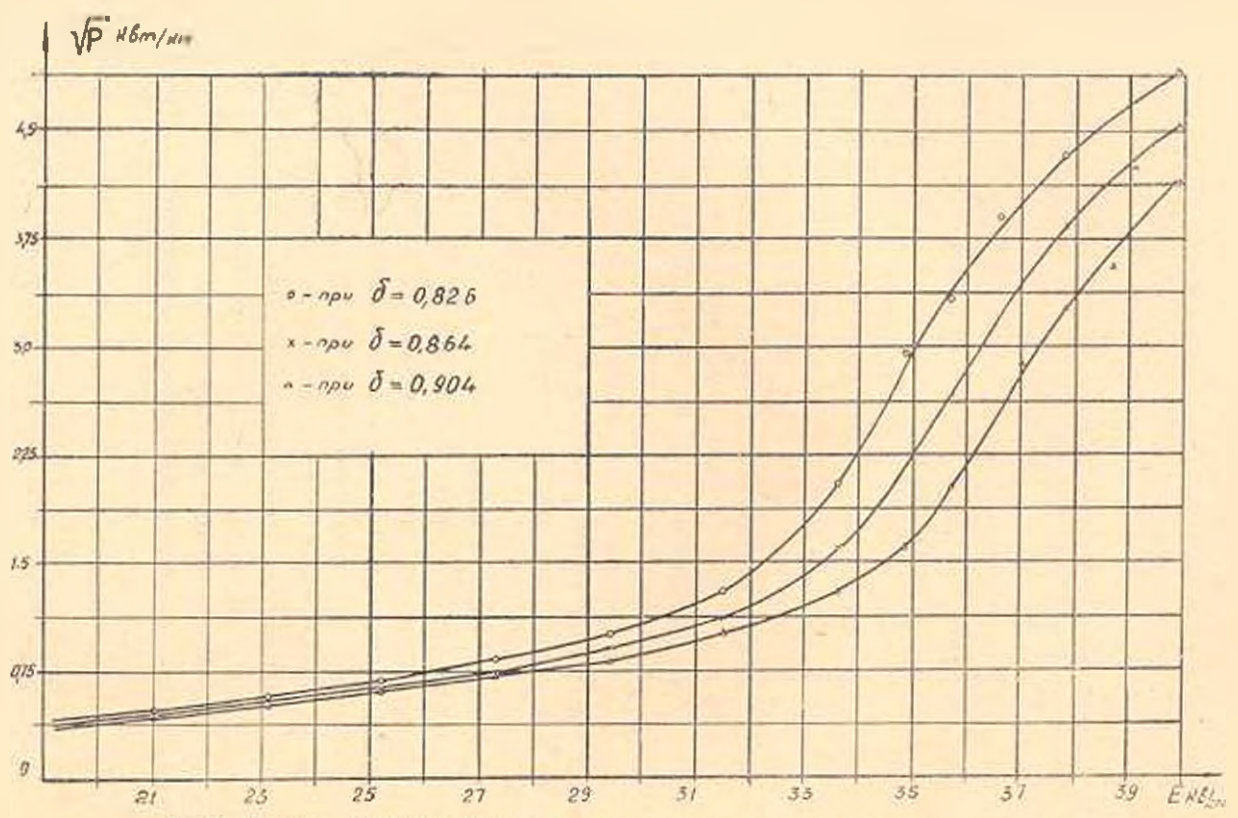


Рис. 1. Кривме зависимости потерь на корону от напряженности поля на поверхпости превода AC-150 при различных плотностях воздуха. (Данные ЛЭАН).

нем моря. Эта установка имеет два пролета, один с активной длиной 45 метров, другой -5 метров, для одновременного исследования потерь на корону на различных проводах. На перном пролете был подвешен провод AC-150, на втором — $\Lambda CY \cdot .00$.

2) В г. Севан на высоте порядка 2000 метров над уровнем моря. Установка имеет пролет длиной 16 г метров с проводом АСУ-300.

Первоочередной авдачей исследований на этих установках является определение годовых потерь электроэнергии на корону в линии передачи 220 кв. Атарбекин — Татев.

Экспериментальная установка для измерения потерь на корону состоит из следующих основных частей: высоковольтного испытательного трансформатора 250 кв. 160 ква: измерительного устройстви; овытных пролегов; метеорологической установки

Измерение мощности потерь на корону имеет свои специфические стороны. При напряжениях на проводе, близких к критическому папряжению короны, ток, создающий потери на корону, представляет собой весьма малую долю тока коронирующей липпи. Измерение мощности при малых созф представляет довольно трудную залачу, позгому измерения с первичной стороны высоковольтного трансформатора наи же с помощью трансформаторов тока и наприжения сопряжения с большими погрешностями. В настоящее время более целесообразно использование схем, позволяющих производить измерения со
стороны высокого напряжения с компенсацией тока геометрической
емкости линии, имеющего место при тех же напряжениях, но при
отсутствии короны.

Принципнальная схема измерения потерь на корону, примененная на указанных установках, приведена на рис. 2 и 3. Компенсация тока геометрической емкости линии производится при помощи конденсатора без потерь (Сь). Измерения мощности производится специальным милливаттиетром, обмотка напряжения которого питается или через емкостной делитель с электронным устройством, или же через омический делитель с компенсированным трансформатором (Т-1).

При наприжениях ниже коронного, для принятой схемы, должно удовлетворяться условие

$$R_1 \cdot C_n = R_2 \cdot C_{k_1} \tag{1}$$

где R_1 и R_2 — сопротивления плеч схемы, C_s — геометрическая емкость линии, при которой через милливантметр ток не течет, так как точки 1 и 2 имеют одинаковый поленциал.

При напряжениях выше коронного через токовую обмотку милливаттиетра потечет ток неуравновещивания, обусловленный короной. Этот ток не является чисто активным, так как коронирующий провод окружен объемными зарядами, увеличивающими смкость линии.

Соотношение компенсированного тока короны /, (ток через ветвь

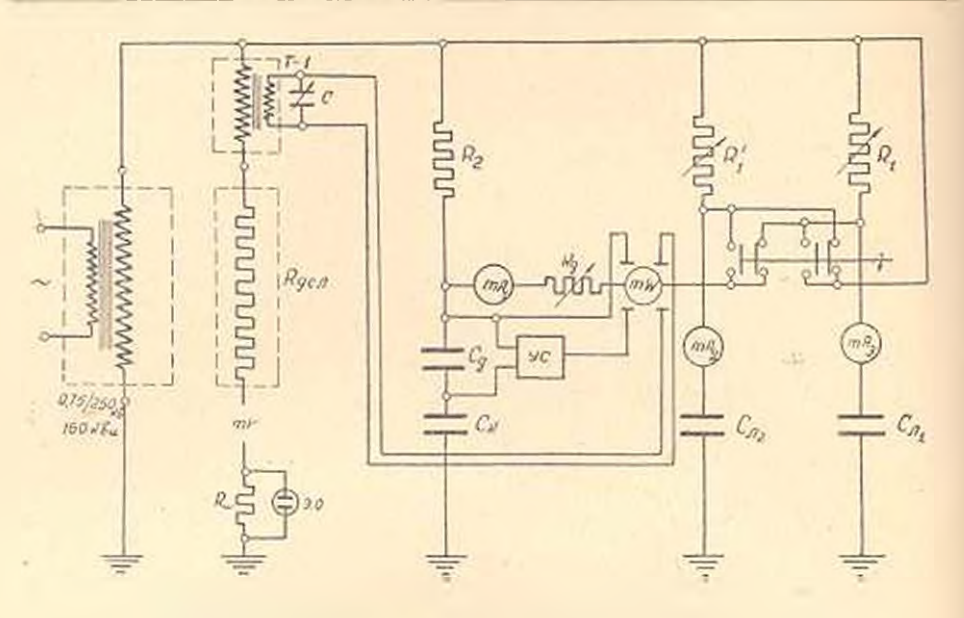


Рис. 2. Прияципиальная схема измерения потерь на корону.

 ΔC_{a} , r, рис. 4.) к току неуравновешнициния T_{0} является коэффициентом пересчета по току (K_{i}) .

Для анализа схемы и определения коэффициента K, произведен расчет токораспределения схемы по методу контурных токов (рис. 4). Для упрощения расчета нелинейная вольт-амперная характеристика короны линеаризирована.

Обозначим через

 R_0 — сопротивление диагонали; r— сопротивление, имитирующее потери на корону; ΔC_a — приращение емкости линии из-за короны; C_k — компенсирующая емкость; I_a — ток коронирующей линии; I_k — компенсированный ток короны (первой гармоники); I_a — ток неуравновешивания.

Пренебрегая сопротивлением источника тока, составляя соответствующие уравнения и решая их, получим:

$$I_{s} = U \frac{R_{0}R_{0} + \frac{1}{j\omega C_{k}} (R_{1} + R_{2} + R_{0})}{R_{0}(R_{0}R_{1} + R_{0}Z_{s} + R_{1}Z_{s}) + \frac{1}{j\omega C_{k}} [(R_{0} + R_{2})(R_{1} + Z_{s}) + R_{1}Z_{s}]}$$
(2)

$$I_0 = U \frac{R_1 Z_4 - \frac{R_1}{f \omega C_h}}{R_2 (R_0 R_1 + R_0 Z_4 + R_1 Z_5) + \frac{1}{f \omega C_h}} (R_0 + R_2)(R_1 + Z_5) + R_1 Z_5}$$
(3)

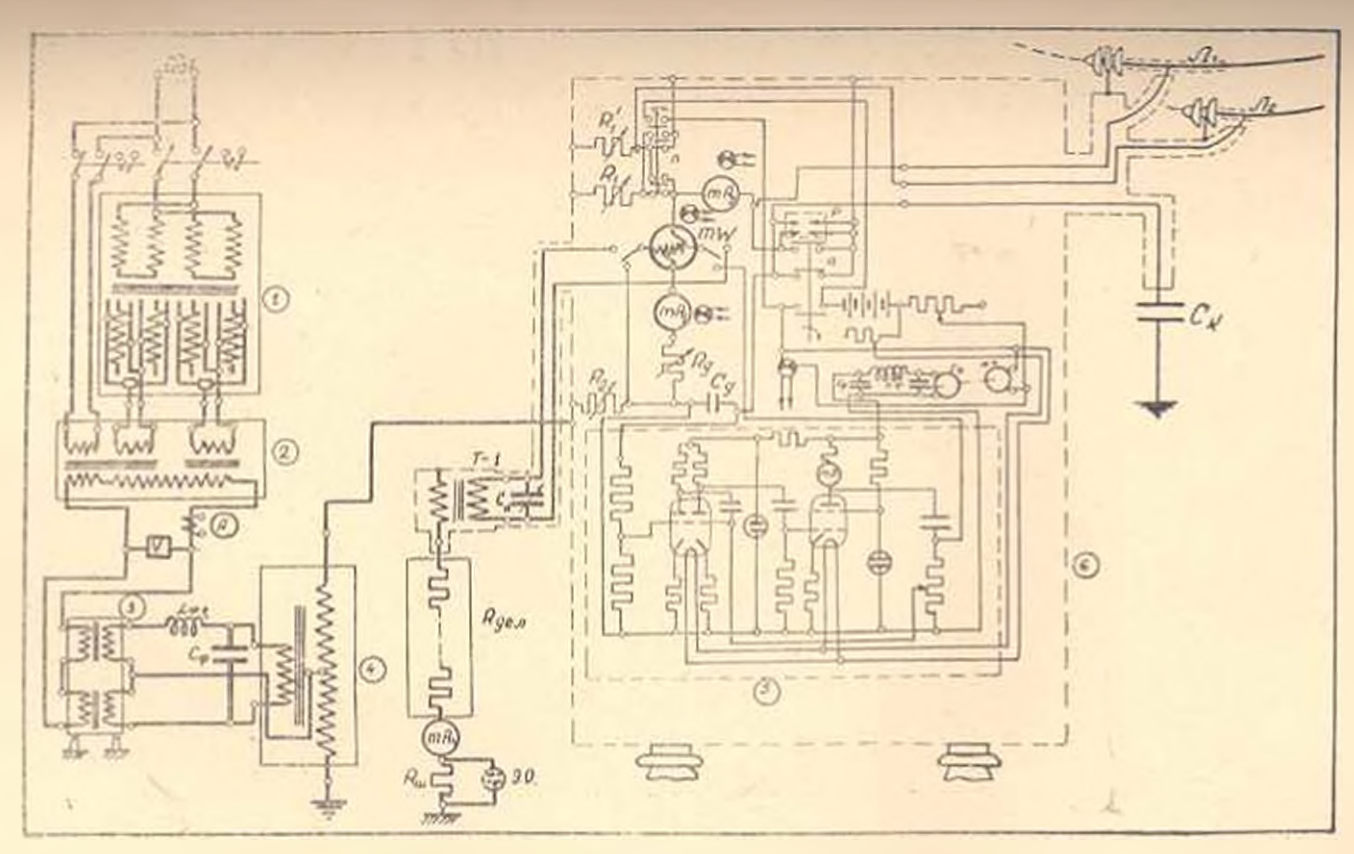


Рис. 3. Полная принципиальная схема опытной установки для измерения потерь на корону.

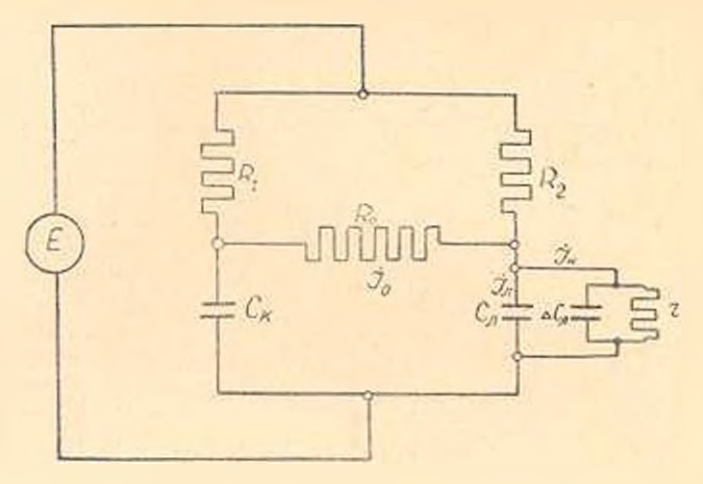


Рис. 4. Расчетная схема токораспределения.

Компенсированный ток короны

$$I_{1} = I_{1}Z_{1}\left(\frac{1}{1-i} + j\omega\Delta C_{x}\right) \tag{4}$$

$$I_8 = U \frac{\left|R_8 \cdot R_2 + \frac{1}{fwC_3}(R_9 + R_1 + R_3)\right| \cdot Z_s \left(\frac{1}{r} + jw\Delta C_s\right)}{R_3(R_9R_1 + R_9Z_s + R_1Z_s) + \frac{1}{fwC_8}\left[(R_9 + R_2)(R_1 + Z_s) + R_2Z_s\right]}$$
(5)

где

$$Z_A = \frac{\frac{1}{r} + f\omega(C_A + \Delta C_A)}{\frac{1}{r^2} + \omega^2(C_A + \Delta C_A)^2}$$

Отношение I_k к I_0 и есть искомый коэффициент пересчета показании схемы по току (K_i). Подставляя значения I_0 и I_k из уравнений (2) и (5), после некоторых преобразований получим:

$$K_i = 1 + \frac{R_2}{R_1} + \frac{R_0}{R_1} + \frac{R_1 \cdot R_2}{R_1 \cdot I \oplus C_2}$$
(6)

Минмая часть коэффициента представляет весьма малую величину, так как сопротивления приборов и плеч схемы примерно в 10^8-10^4 раза меньше реактивного сопротивления C_b . Поэтому, пренебрегая инимой частью уравшения (6), получим:

$$K_i = 1 + \frac{R_6 + R_8}{R_i}$$
 (7)

Как видно, K_{ν} есть величина действительная (при пренебрежении миимой частью) и постоянная, зависящая от постоянных нараметров схемы, что исключает фазовые ошибки. Коэффициент K_{ν} не зависит от

тармонических составляющих тока, что для измерения потерь на корону весьма существенно. При измерениях потерь на корону по указанной схеме наименьший возможный предел измерения ограничивается с одной стороны чувстви ельностью милливаттметра, а с другой стороны чувствительностью схемы по току $\frac{1}{K}$.

Из уравнений 1 и 7 видно, что чувствительность схемы по току, при заданном пролете, можно увеличить либо увеличением емкости компенсирующего конденсатора, либо пропорциональным увеличением сопротивлений R_1 и R_2 .

Увеличение емкости компенсирующего конденсатора без потерь, с рабочим напряжением несколько сотей киловольт, ограничивается, обычно, техническими возможностями.

Увеличение же чувствительности схемы, путем увеличения сопропвлений плеч, ограничивается увеличением разности потенциалов
между экраном и измерительными проводами схемы, которая приводит
к увеличению погрешности схемы из-за увеличения емкостных паравитных токов. Оптимум величины сопротивлений R_1 и R_2 устанавливвется в процессе наладки, так как математическое их определение
с учетом паразитных емкостных токов, которые не поддаются расчету, не представляется позможным. Увеличение же длины пролета при
данном C_{ℓ} , с целью увеличения потерь, приводит к уменьшению чувствительности схемы почти на такой же порядок, как и увеличение
самих потерь. Поэтому увеличение длины опытного пролета не вполне оправдывается, тем более, что длинный пролет вследствие большого провеса имеет неравномерную напряженность поля на проводе
вдоль пролета.

Подача напряжения к обмотке напряжения милливаттметра предусмотрена следующими двумя способами (рис. 2 и 3):

- 1) от емкостного делителя напряжения через электронное устройство:
- 2) от омического делителя напряжения через компенсированный трансформатор.

Отбор напряжения в первом случае осуществляется от конденсатора C_g , включенного последовательно с C_k .

Электронное устройство представляет из себя трехкаскадный усилитель с большим входным сопротивлением и с обратной отрицательной связью по току и по напряжению для компенсации сдвига фаз между напряжением на пролете и выходным напряжением электронного устройства.

При использовании омического делителя, с целью уменьшения его мощности, применяется трансформатор с весьма малой индукцией и током холостого хода. Первичная обмотка трансформатора включается последовательно в цепь омического делителя со стороны высокого напряжения. Для компенсации сдвига фаз напряжения, вследствие реактивной мощности делителя и индуктивности трансформато-

ра, применяется конденсатор C_k . Эта компенсация постоянная, так как конструкция омического делителя исключает появление короны на элементах делителя и, кроме того, параметры трансформатора T-1, в пределах измерения, практически остакися постоянными.

Потери мощности на корону на опытном пролете определяются следующей зависимостью:

$$W_{\text{действ.}} = \mathcal{K}_{\text{обш.}} \cdot W_{\text{нэмер.}}$$

где $W_{\text{ком.}}$ — действительная мощность потерь на корону на проводе. $W_{\text{ком.}}$ — мощность по милливаттметру.

 $K_{\text{общ.}}$ — общий пересчетный коэффициент по мощности.

При питании обмотки напряжения милливаттметра от емкостного делятеля с электронным устройством

$$K_{\text{nGin.}} = \frac{K_{\text{II}_1} \cdot K_I}{K_Y} = K_I \cdot K_{H_1}$$

где $K_{\mathbf{A}_1}$ — коэффициент деления емкостного делителя,

К. - коэффициент пересчета по току,

Ку - коэффициент усиления электронного устроиства,

Ки - коэффициент пересчета по напряжению.

При питании обмотки напряжения милливаттмегра от омического делителя с компенсированным трансформатором

$$K_{\text{ofair.}} = \frac{K_{\text{total}} \cdot K_{I_{\text{total}}}}{K_{\text{total}}} = K_{\text{total}} \cdot K_{H_{\text{total}}}$$

где K_{s_n} — коэффициент деления омического делителя,

Кт коэффициент трансформации компенсированного трансформатора,

Кн, - коэффициент пересчета по няпряжению.

Измерення на двух проводах веду, ся одной и той же схемон с возможностью переключения схемы с одного продета на другои без сиятия напряжения. При этом сопротивление R_1 оствется постоянным, а R_1 меняется на R_2 соответственно емкости переключенного продета.

Высоковольтная часть измерительной схемы нахолится и экранированном ящикс, изолированном от земли (рис. 5).

Там же находится аккумуляторная батарся с умформером для питания электронного устройства и освещения измерительных приборов.

Наблюдения за измерительными приборами производятся дистанционно при помощи оптического прибора и зеркал. Отключение (шунтировка) и включение измерительной части схемы, переключение схемы с одного пролета на другои, а также переключение предела измерения (чувствительности) схемы производится также дистанционно без сиятия напряжения.

Высоковольтный электрод компенсирующего конденсатора представляет из себя диск эллипсондального сечения диаметром 3 м.

В некоторых случаях этот электрод заменяется цилиндрическим. Емкость диска относительно земли 135 пф., емкость цилиндра 70 пф.

Омический делитель собран из керамических сопротивлений, по-

мещенных в кожухе высоковольтного взолятора, заполненного маслом (ряс. 6).

Для предотвращения влияния утечек по поверхности изолятора на верхнем и нижнем фланцах кожухи делителя установлены проходные изоляторы, в фланцы кожухи делителя соединяются соответственно с потенциялом измерительного ящика (экрана) и землей. Измерение напряжения производится миллиамперметром (mA₄), включенным в цепь омического делителя.

Экраны подволящих проводов (алюминиевые трубы) имеют потенинал измерительного ящика. Этот потенциал подводится также к первым изоляторам начальных гирлянд пролетов. Для предотвращения

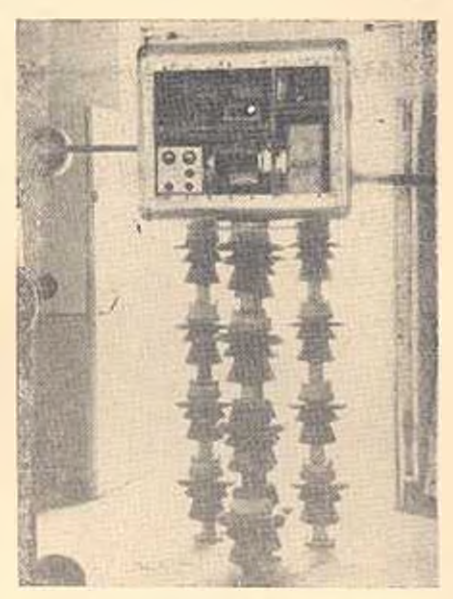


Рис. — Общий вит по полительного ящика с открытой крышкой.

влияния краевого эффекта на малом пролете с двух конпов падеты экранирующие грубы 250 мм, длиной 1.5 м. Подача потенциала экрана к экрану конечной гирлянды малого пролета осуществлялась спуском от экрана большого пролета (рис. 7 и 8), который предназначен для предотвращения влияния малого пролета на большой. Однако, как выявилось в процессе экспериментов, путем снятия вольткулоновых характеристик методом антенны, разработанным в ЭНИП-е АП СССР, распределение градиента вдоль малого пролета оказалось неравномерным. Для предотвращения влияния спуска на равномерность градиента влоль провода, экранировка конечной гирлянды малого пролета произведена соединением ее с потенциалом экрана посредством пропускания внутрь повива провода пролета гонкой изолированной проводоки. Следует отметить, что в этом случае расчетная в измерениям ведичнем емкости линии практически совпадают.

Наладка схены. Так как измерительная установка состоит из миогих узлов, то возможные ошибки их могут складываться и дойти до недопустимой величины, поэтому ногрешность каждого узла определялась в отдельности, а затем определялась погрешность установки в нелом.

Погрешности схемы могут быть как по причине угловых погрешностей, так и погрешностей по абсолютной величине.

Общая погрешность схемы складывается из погрешности ем-

ным напряжением на делителе и на его плече C_3 ; погрешности усилителя по коэффициенту усиления и по углу между векторами входного и выходного напряжений; угловых погрешностей вследствие наличия индуктивности у обмоток тока и напряжения милливаттметра и обмотки мил-

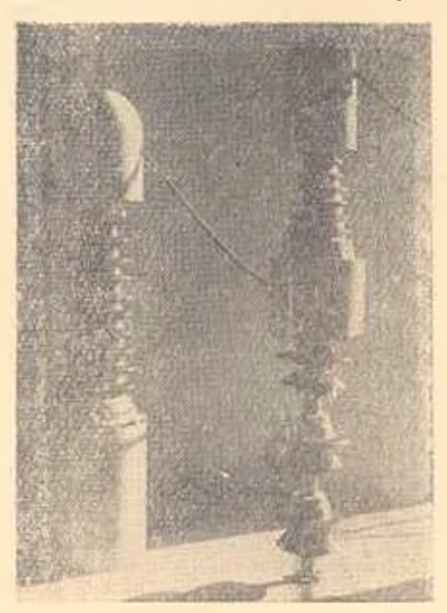


Рис. 6. Общий вид лелителя изпряжения на 250 кв.

лиамперметра; погрешности по величине и по углу омического делителя; погрешности по коэффициенту трансформации и по углу компенсированного трансформатора Т-1; погрешности остальных измерительных приборов.

Все указанные погрешности могут привести к изменению расчетной величины коэффициента $K_{\rm ofm}$. Причем, изменение коэффициента $K_{\rm ufm}$, может быть как по абсолютной величине, так и с добавлением к нему минмой части вследствие угловых ошибок схемы. Следует указать также, что схема с использованием омического делителя с трансформатором Т-1 ставит весьма жесткие требования к форме кривой папряжения. Для получения

синусондальной кривой напряжения со стороны первичной обмотки высоковольтного трансформатора был включен Г-образный фильтр (рис. 3).

Параметры фильтра подбирались осциллографированием формы кривой напряжения на омическом делителе напряжения. Не вхоля в полробности наладки отдельных узлов измерительной схемы, приведем носледние два этапа наладки, определяющие качество измерительной схемы в пелом.

- 1. Проверка отсутствия угловых погрешностей схемы производилась при путем искусственного выведения схемы из уравновешивания. При этом ток неуравновещивания доводился до трехкратной величны иоминального тока милливаттметра. Отсутствие показаний милливаттметра и этом случае указывает на отсутствие угловых погрешностей в схеме в целом. При наличии же угловых потрешностей угол между векторами тока и напряжения был бы менее 90° и милливаттметр показал бы фиктивную мощность.
- 2. Определение общей погрешности измерений производилось путем определения мощности по схеме при включении в линию заранее известной нагрузки. Обычно эта нагрузка представляет собой активное сопротивление, включенное в рассечку линии в се начале (рис. 9). Как показали измерения и анализ работы схемы, в этом случае результаты искажаются вследствие протекация сравнительно

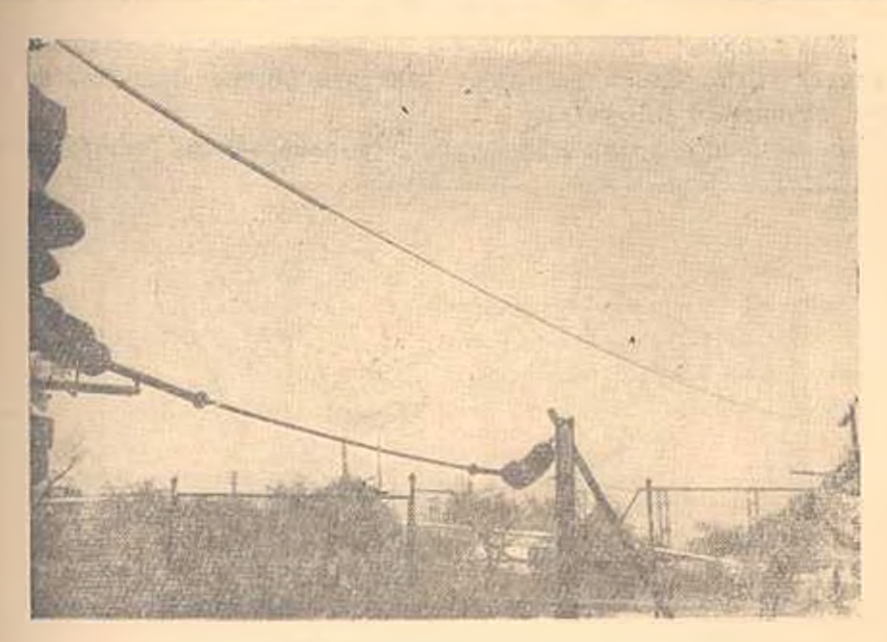


Рис. 7. Общий вид большого и малого пролетов.

больших паразитных токов, обусловленных большой разностью потенциалов между компенсирующим конденсатором, экраном и линней-Эга разность потенциалов равна надению напряжения на нагрузочном сопротивлении. Во избежание указапных искажений, нагрузочное со-

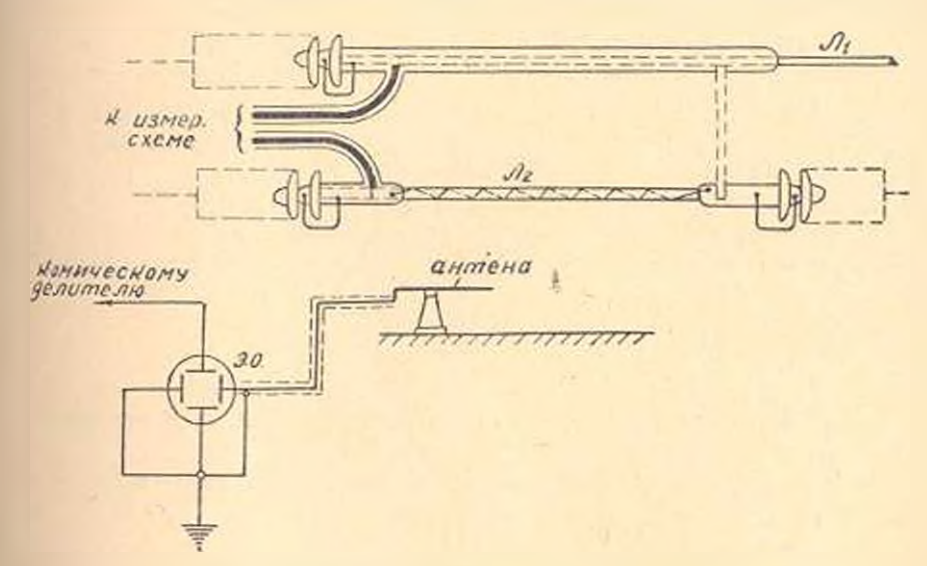


Рис. 8. Принципнальная схема экрапирования пролетов и измерения вольт-кулоновой характеристики с помощькі антенны.

противление включалось параплельно с линией. В этом случае комвенсирующий конденсатор, экраи и линия находится, практически, под одним и тем же потенциалом, что соответствует реальной работе схемы при измерениях потерь на коропу. Как показали измерения, точность схемы в целом находится в пределах $=5\,^{\circ}/_{\circ}$. Схема позволяет измерять потери мощности на корону, начиная от 0,1 $sm/_{\circ}$.

В настоящее время одновременно с измерениями потерь на ко-

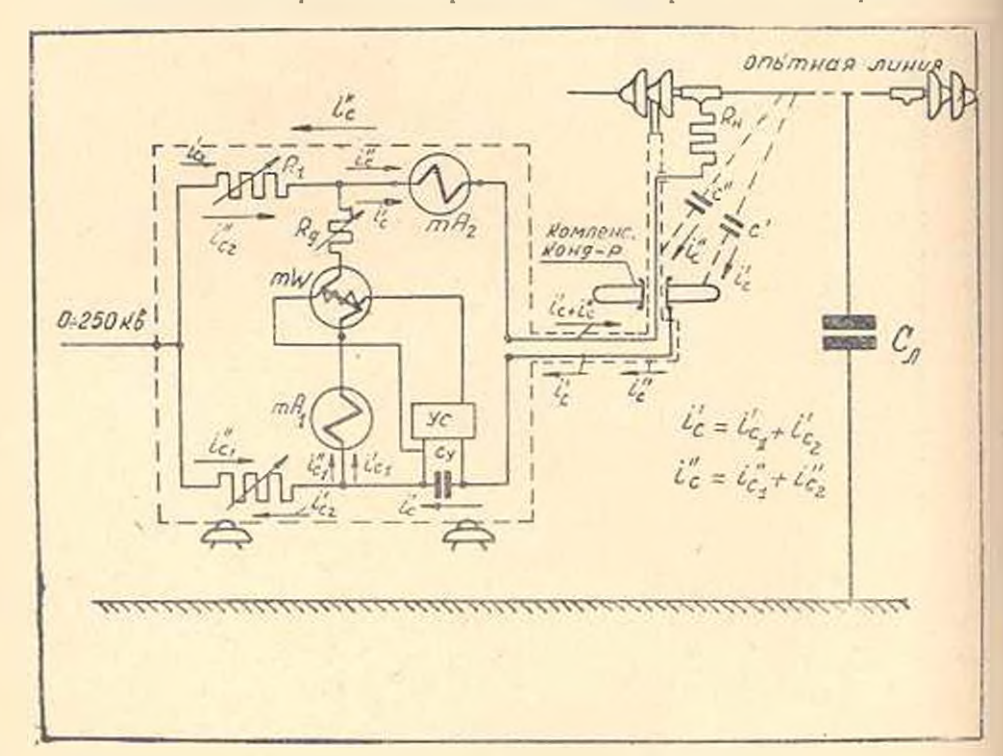


Рис. 9. Схема измерения общей погрешности измерения путем включения сопротивления в рассечку линии. На схеме указапы паразитные токи.

рону ведутся необходимые метеорологические наблюдения.

Измерительная схема сооруженной установки на высоте 2000 метров над уровнем моря принципиально одногилиа с описанной схемой.

Лаборатория электротехники АН Армянской ССР

Ռ. Ա. ԳՐՉԵԼՑԱՆ, Ն. Գ. ՋԱՆՋՈՒՂԱՋՈՎ, Մ. Ս. ԿԱՐԱԳԵՏՑԱՆ, Ա. Ս. ԲՈՐՈՍՑԱՆ

ՓՈՓՈԽԱԿԱՆ ՀՈՍԱՆՔԻ ՊՍԱԿԻ ՎՐԱ ԷՆԵՐԳԻԱՅԻ <mark>ԿՈՐ</mark>ՈՒՄՏՆԵՐ<mark>Ի</mark> ՀԵՏԱԶՈՏՄԱՆ ՉԱՓՄԱՆ ՍԽԵՄԱ

- Ամ փոփում

Բարձր լարման էլեկտրական ցանցնրի զարգացման հետ կապված փոփոխական հոսանքի պրակի հետադոտումը փորձնական գծերի վրա բարձրունքյային պայմաններում, ցածր մինոլորտային ձնչման տակ, ունք Հական պրականի նշանակություն, Այդ հետադոտություններն ունեն և ահատկան նշանակություն, որովենաև պատկի տապարեզում դիտության գարգացման ժամանակակից դրությունը թույլ չի տալիս որևէ կերպ ճիջա նավորապես՝ լևոնային պայմաններում։

Այդ կապակցությամբ 2 փորձնական դձևրի վրա (ծովի մակարդակից 100 մ բարձրության վրա՝ Սրևան-Նորքում և 2000 մ-ի վրա Սևանում) պատիի կորուսաները շափելու համար մշակված և կիրառված է չափման ախևմա Այդ որևման մ կացվում է րարձր լարման շղթայում և աշխատամ է հավասարակշոված կամ բծակի սկզրունքով, դծի սհակաիվ հոսանքի կոմ պենսացմամը

Պոտիի վրա կորոշատների վերահաչվումը կատարվում է իրական հասատտուն դործակիցներով, որոնք կաիված են միայն սխեմայի հաստատուն պարամետրերից։

Upledanje some Djustep + 50,0 km

ЛИТЕРАТУРА

- 1. Сиротинский Л. И. Техника высоких папряжений, ч. 1. 1951. Госанергонздат.
- 2. Отчет ЭНИН-а АН СССР. Коронный разряд на янинях «О) кв. 1949.
- Отчет Лаборатории электротехьных АН Арманской ССР (ЛЭАН). Испледование короны переменного тока при пониженных плотностих воздуха. Часть 1 и 11, 1954—1955 годы.